

VI-2 高級落水ナップの変動について

西日本工業大学

正。赤司信義

学 岩崎英利

学 万賀義國

序 下山義孝

学 原田重喜

1. まえがき

高級落水による落水変更の流れは、落水地東下流側の水位によつて異なり。その水位が低い時水脈拡散は上流側に形成される水ツッショングによつて片倒拡散となる。又水脈落水変更の上干流の水位差がなくこの水位が大きい時、流れは近似的に軸対称噴流拡散となり、水門までの衝突流速は通過距離の $-1/2$ 乗に比例する事が知られてゐる。が、水ツッショングは大きな影響をもつと思われる噴流に向く導かつきり水脈の落水と伴なう空気混入によっては離せられてゐる。本報者はこうした点をふまえて、まず落水前のナップ形状および流れの空気量の分布、混入空気量について考察し、まとめておきたい。

2. 実験装置及び方法

実験水路の水路端 30 cm、段落地東上流水路長 2.2 m、下流水路 3 m、落水高 D = 0.7 m の側面はアクリルガラス、底面は塗り板で設置して行った。ナップ形状の測定は側面ガラスを通して読みとしたものである。又ナップ下面空間の圧力測定は流體式装置によつて行った。バネ定数 C = 2.36 g/cm、流體側壁面積 A_s = 0.55 cm²、容器側面積 382 cm²、容器高 20 cm の、この時流體側面距離を L とするとき圧力は $P = (C + \rho g h) / A_L$ で求められる。又静圧測定には外径 2 mm、内径 1.6 mm のステンレスセーター管にて測定した。実験は落水変更の上干流水深差がない場合についてのみ行つたものである。ナップ下面空間の圧力変化は水深を急激に増減させることで求められた。

3. 実験結果及び考察

ナップ下面空間を通気した状態及び下面空間の圧力を増減させた時のナップ上面形状を図 1 に示した。通気した状態のナップ形状については鷲尾、岩崎兩氏が実験的に求めしており同図中に一筆書きで示した。ナップ下面空間の圧力を増大するとナップは前面に押し出され、空間圧力が低下するとナップは押し込まれる事が分かる。この傾向は落水地東に近づく程つまりナップの厚さが薄くなる程顕著にみられる。通気した場合のナップ法線方向の力は重力成分、遠心力、ナップ内圧力によつて釣り合つており、ナップ下面空間の圧力が生じるとこの力が法線方向に向かうためナップ形状が変化する。今ナップ内圧力変化が微少であるとしてナップ単位面積当たりの法線方向の力の釣り合ひを表すと次の様に表わされる。

Fig-1 段落水の流れ

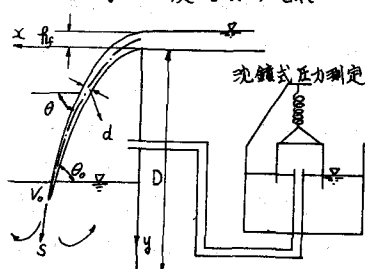
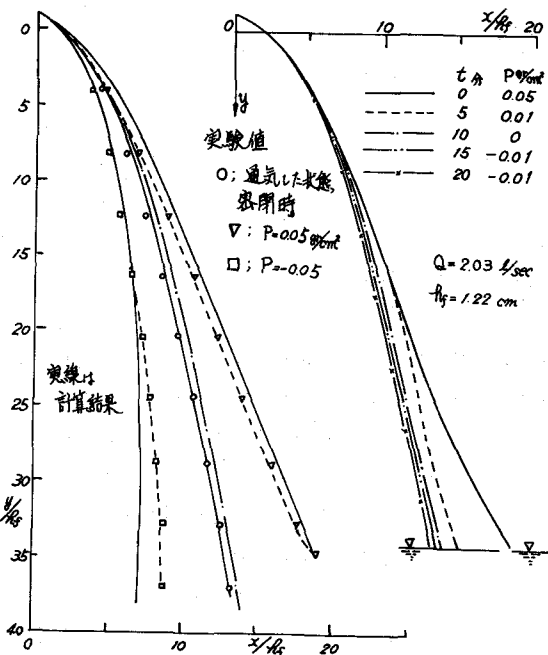


Fig-2 圧力によるナップ形態変化 Fig-3 ナップの時間的変動



$\cos \theta = P_0 / \rho g d + V^2 / gr$... ① ここで V は法線方向の速度, P_0 は圧力。又流線方向の力の釣り合いで $V^2 / rs = g \sin \theta$ とすると、ナップ工面について $V^2 = U_0^2 + 2g(Y + h_f)$ となる。上式は放物体運動の式である。この時の曲率半径を求め、これがナップ形状が変化した時のそれに近いとして①式に代入し、②式: $Y = \tan \theta \cos^{-1} (P_0 / \rho g d + V^2 / gr)$ を解く時ナップ下面空間に圧力が均一な時の形状が近似的に求まる。この結果を図2に示した。大さく取り扱いではあるが十分形状変化は説明される。図3は干流水深が 29.5 cm の密閉空間圧力が 0.05 kg/cm^2 の状態を $\theta = 0$ として時間的なナップ形状変化をみたものである。初期の頃ナップ突入角度がゆるいため混入空気はほとんど下流へ流送され急激に圧力が低下していく。そして圧力変化に伴う、ナップ形状が変化し、突入角度が次の急角度にむかうため下流への混入空気の流送は少くなりナップの変動も緩慢になり、ほぼ定常的な状態へと落ちつく事が分かる。図5, 6 は通気した水槽での落下水による空気混入の分布をみるため静圧分布及び空気混入分布を示したものである。図5は測定した静圧と静水圧分布と比較してその差を示したものである。その差が空気混入によって生じたと考えて図6を描いた。図6は突入して流れがナップ工面壁によって制せられ混入量が下区間に拡散せらるため下流の分布状況より大きめにでている。通気水槽から密閉槽にするとナップは上流へとひきこまれ図3の定常ナップ形状となる。水槽によって混入された空気は水中に没するとき形の拡散により工流側にも下流側にも拡散される。図3の時間的ナップ形状変化をもとに混入空気の下流への流送量をみたのが図7である。同図中にはナップ突入角度の変化をも記入している。突入角度が 0° 近くになるとナップの変化はほとんどみられない。今図6の二次元噴流が板に当る角度で衝突する時下流の漏れは $d/d = 0.5(1+coth \theta)$ で与えられる。混入空気量をこれに従うとして単位時間当たりの混入量を Q_a として5分毎の平均値を使って定めると、 $a = 1A / \{0.5(1+coth \theta)\} \cdot At$ より、 $Q = 2.03 \text{ l/sec}$ の流量下では、0~5分の平均は 0.2, 5~10分では 0.19, それ以後はナップの変化はない。 $Q = 3.71 \text{ l/sec}$ の時ナップ変化は5分で落ちつき、この間の平均は 0.18 である。突入地盤の $Re = Vd / \nu$ は 5000 程度である。

4 あとがき

ナップ密閉空間の圧力変化による形状は放物体運動に法線方向の力を考慮する事でおおむねその形状が近似された。空気混入について、噴流の水面への突入条件によつて、その量が 0 の場合がよくみられるが、本報告の様に落水による空気混入は落水中の水脈動搖、ナップ下面空間の圧力、突入角度等で極めて非常に把握しづらく混入空気の支配的原因を見出せないでいる。今後は空気混入に関する基礎実験を重ねて落水中の水脈に働く(空気混入に伴う)浮力効果の説明を目指して調べていきたい。

参考文献: 岩崎敏夫; 落水水流の水理現象に関する実験的研究; 土木学会誌

S 28. 6

Fig-4

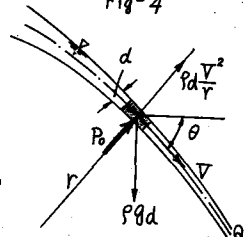


Fig-5 静圧分布

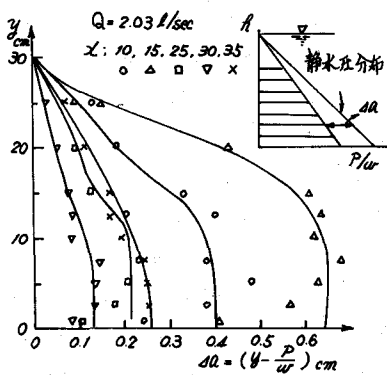


Fig-6 混入空気量分布

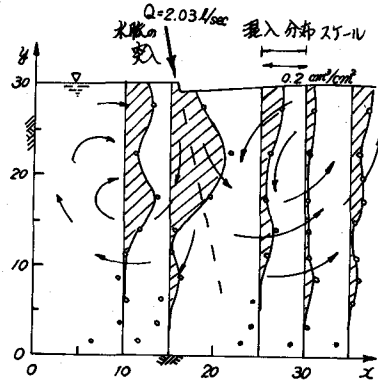


Fig-7 下流流送量

